

- [4] Столов А. Л., Яковлева Ж. С. // ФТТ. 1968. Т. 10. № 5. С. 1513—1517.
 [5] Garcin C. e. a. // J. Physique. 1986. V. 47. N 11. P. 1977—1989.
 [6] Steger J., Kostiner E. // J. Chem. Phys. 1973. V. 58. N 8. P. 3389—3400.
 [7] Cruset A., Friedt J. M. // Phys. St. Sol. (b). 1971. V. 47. P. 655—662.
 [8] Corish J., Catlow C. R. A. // Phys. Rev. 1982. V. B25. N 10. P. 6425—6438.
 [9] Петров Ю. И. Кластеры и малые частицы. М., 1986. 365 с.
 [10] Юлдашев У. Ю. // Изв. АН УзССР, сер. физ.-мат. 1987. № 5. С. 105—106.

Ташкентский политехнический институт
им. Беруни
Джизакский филиал
Джизак

Поступило в Редакцию
18 мая 1989 г.
В окончательной редакции
24 октября 1989 г.

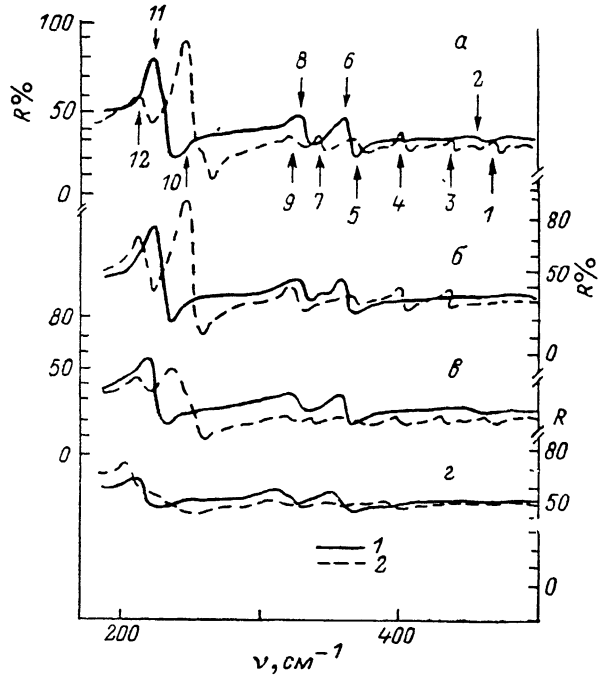
УДК 621.315.592

© Физика твердого тела, том 32, № 4, 1990
Solid State Physics, vol. 32, N 4, 1990

ВЛИЯНИЕ НАРУШЕНИЯ СТЕХИОМЕТРИИ НА ДИНАМИКУ КРИСТАЛЛИЧЕСКОЙ РЕШЕТКИ В ДИФОСФИДЕ ЦИНКА ЧЕРНОЙ МОДИФИКАЦИИ

*Н. Н. Сырбу, Х. Нойман, Л. Г. Пеев, Х. Собота,
С. Б. Хачатурова*

В полупроводниковом соединении дифосфида цинка черной модификации обнаружено несколько типов кристаллов, экситонные оптические спектры которых различаются [1, 2]. Одновременно с экситонными со-



Спектры отражения в области однофононного резонанса кристаллов ZnP₂ при 300 К. а — моноклинных симметрии C_{2h}^5 ; б, е, г — «ромбических» типа II, III, IV соответственно. $E \parallel c$ (1), $E \perp c$ (2).

стояниями наблюдается обратная водородоподобная серия (ОВС) линий, которая также зависит от технологии получения кристаллов [2, 3]. Существование различных типов монокристаллов ZnP₂ вызвано структурными нарушениями кристаллической решетки.

В настоящей работе рассмотрено изменение одно- и двухфононных ИК спектров отражения и поглощения различных типов кристаллов дифосфида цинка, полученных из газовой фазы в условиях нарушенной стехиометрии состава. Область гомогенности для этого соединения составляет 2 ат.% Р [4], что дает возможность, нарушая в этих пределах стехиометрию (по фосфору), изучить влияние собственных дефектов на динамику кристаллической решетки ZnP_2 . Дифосфид цинка (ZnP_2) кристаллизуется в моноклинной сингонии (пространственная группа C_{2h}^5 [5]). Структура ZnP_2 содержит связи Р—Р и Zn—Zn. Атомы фосфора образуют цепочки, которые соединяются друг с другом в трехмерную цепочку посредством внутрицепочных связей между Р-атомами. Эти связи и связи Zn—Zn лежат в слоях, параллельных плоскости bc кристалла.

В кристаллах ZnP_2 моноклинной модификации (кристаллы получены при соблюдении стехиометрического соотношения компонент) в области частот 180—500 см^{-1} обнаружено 12 поляризованных полос отражения (см. рисунок, a), обусловленных однофононными процессами, а именно ИК-активными фононами симметрии A_u в поляризации $E \perp c$ и B_u в поляризации $E \parallel c$. Параметры фононов подробно обсуждены в работах [6, 7]. В таблице приведены частоты поперечных ω_{TO_j} и продольных ω_{LO_j} колебаний, фактор затухания Γ_j , сила осциллятора S_j , высокочастотная ϵ_s и статическая ϵ_∞ диэлектрические проницаемости, которые

Параметры фононов в кристаллах ZnP_2 черной модификации

| Моля | Тип III | | | | | | Тип IV | | | | | | | | | |
|---|-------------------------------------|---|---------------------------------|---|-------------------------------------|--|---------------------------------|--|-------------------------------------|--|---------------------------------|--|---------------------------------|--|---------------------------------|------|
| | ω_{TO_j} см^{-1} | ω_{LO_j} см^{-1} | $\Gamma_j, \text{см}^{-1}$ | S_j | ω_{TO_j} см^{-1} | ω_{LO_j} см^{-1} | $\Gamma_j, \text{см}^{-1}$ | S_j | ω_{TO_j} см^{-1} | ω_{LO_j} см^{-1} | $\Gamma_j, \text{см}^{-1}$ | S_j | | | | |
| 12 | 212 | 215 | 11.3 | 0.42 | 209 | 214 | 9.7 | 0.53 | 209 | 211 | 9.7 | 0.25 | 202 | 207 | 4.6 | 0.58 |
| 10 | 236 | 254 | 10.5 | 1.07 | 238 | 249 | 7.3 | 0.64 | 231 | 251 | 7.6 | 0.96 | — | — | — | — |
| 9 | 324 | 325 | 10.5 | 0.07 | 323 | 325 | 8.1 | 0.08 | 322 | 323 | 12.1 | 0.05 | — | — | — | — |
| 7 | 340 | 342 | 8.0 | 0.06 | — | — | — | — | 338 | 338 | 4.0 | 0.004 | — | — | — | — |
| 5 | 371 | 372 | 6.2 | 0.04 | 365 | 366 | 6.5 | 0.02 | 365 | 366 | 11.5 | 0.05 | — | — | — | — |
| 4 | 401 | 402 | 6.9 | 0.04 | 402 | 403 | 4.8 | 0.04 | 400 | 401 | 8.5 | 0.03 | 397 | 398 | 8.9 | 0.04 |
| 3 | 438 | 439 | 6.8 | 0.03 | 438 | 439 | 4.8 | 0.12 | 433 | 435 | 6.9 | 0.05 | — | — | — | — |
| 1 | 470 | 471 | 6.6 | 0.03 | — | — | — | — | 466 | 467 | 6.5 | 0.02 | — | — | — | — |
| $E \perp C$ | | $\epsilon_\infty = 8.9$ | $\epsilon_s = 10.6$ | $\epsilon_\infty = 7.7$ | $\epsilon_s = 9.1$ | $\epsilon_\infty = 7.2$ | $\epsilon_s = 9.0$ | $\epsilon_\infty = 7.0$ | $\epsilon_s = 7.7$ | $\epsilon_\infty = 7.0$ | $\epsilon_s = 7.7$ | $\epsilon_\infty = 7.0$ | $\epsilon_s = 7.7$ | $\epsilon_\infty = 7.0$ | $\epsilon_s = 7.7$ | |
| 11 | 219 | 229 | 9.7 | 0.91 | 219 | 228 | 8.9 | 0.67 | 216 | 224 | 11.3 | 0.76 | 214 | 217 | 17.8 | 0.49 |
| 8 | 326 | 330 | 13.1 | 0.20 | 328 | 330 | 9.7 | 0.11 | 323 | 327 | 16.1 | 0.23 | 319 | 324 | 16.1 | 0.14 |
| 6 | 358 | 362 | 9.5 | 0.18 | 359 | 361 | 8.1 | 0.11 | 358 | 361 | 9.7 | 0.16 | 357 | 361 | 12.9 | 0.12 |
| 2 | 457 | 458 | 9.7 | 0.02 | 459.0 | 459.4 | 5.7 | 0.01 | — | — | — | — | — | — | — | — |
| $E \parallel C$ | | $\epsilon_\infty = 9.0$ | $\epsilon_s = 10.5$ | $\epsilon_\infty = 8.3$ | $\epsilon_s = 9.2$ | $\epsilon_\infty = 9.0$ | $\epsilon_s = 10.4$ | $\epsilon_\infty = 7.0$ | $\epsilon_s = 7.7$ | $\epsilon_\infty = 7.0$ | $\epsilon_s = 7.7$ | $\epsilon_\infty = 7.0$ | $\epsilon_s = 7.7$ | $b = 7.36 \pm 0.1, c = 7.6 \pm 0.1 \text{ \AA}, a = ?$ | $a = \beta = \gamma = 90^\circ$ | |
| $a = 8.85, b = 7.20, c = 7.56 \text{ \AA}, \beta = 102.3^\circ, \alpha = \gamma = 90^\circ$ | | $b = 7.10 \pm 0.04, c = 7.56 \pm 0.01 \text{ \AA}, a = ?$ | $a = \beta = \gamma = 90^\circ$ | $b = 7.3 \pm 0.1, c = 7.6 \pm 0.1 \text{ \AA}, a = ?$ | $a = \beta = \gamma = 90^\circ$ | $b = 7.36 \pm 0.1, c = 7.6 \pm 0.1 \text{ \AA}, a = ?$ | $a = \beta = \gamma = 90^\circ$ | $b = 7.36 \pm 0.1, c = 7.6 \pm 0.1 \text{ \AA}, a = ?$ | $a = \beta = \gamma = 90^\circ$ | $b = 7.36 \pm 0.1, c = 7.6 \pm 0.1 \text{ \AA}, a = ?$ | $a = \beta = \gamma = 90^\circ$ | $b = 7.36 \pm 0.1, c = 7.6 \pm 0.1 \text{ \AA}, a = ?$ | $a = \beta = \gamma = 90^\circ$ | $b = 7.36 \pm 0.1, c = 7.6 \pm 0.1 \text{ \AA}, a = ?$ | $a = \beta = \gamma = 90^\circ$ | |

$$\varepsilon_s = \varepsilon_\infty = 7.7$$

$$a = \beta = \gamma = 90^\circ$$

$$a = \beta = \gamma = 90^\circ$$

$$a = \beta = \gamma = 90^\circ$$

определялись из расчета спектров отражения с помощью моноосцилляторной модели, используя функцию комплексной диэлектрической проницаемости вида

$$\epsilon(\omega) = \epsilon_{\infty} + \sum_{j=1}^n \frac{S_j \omega_{TO_j}^2}{\omega_{TO_j}^2 - \omega^2 + i\omega\Gamma_j}.$$

В области частот 500—1000 см⁻¹ в кристаллах ZnP₂—C_{2h}⁵ в спектрах поглощения наблюдается большое количество поляризованных полос (36 линий), обусловленных двухфононным поглощением. (Спектры двухфононного поглощения детально рассмотрены, но не приводятся в этой работе с целью сокращения объема).

В спектре отражения кристаллов ZnP₂ типа II в области частот 180—500 см⁻¹ в поляризации E || с наблюдаются все полосы ИК-активных фононов симметрии B_u(Г₄), присутствующие в моноклинных кристаллах, а в поляризации E ⊥ с исчезают полосы 1 и 7 симметрии A_u(Г₂). Как следует из таблицы, частоты решеточных колебаний, за исключением полосы 5, практически не меняются, однако падает их затухание и происходит перераспределение сил осциллятора. В дифосфиде цинка высокочастотные колебательные моды описываются Р—Р связями [8]. Полученные данные свидетельствуют о том, что внедрение фосфора до небольших концентраций в пределах области гомогенности соединения ZnP₂ происходит в слоях, формирующих элементарную ячейку кристалла. При этом внедренные атомы фосфора разрушают только две колебательные моды (1 и 7), блокируют их. Эти моды исчезают с нарушением стехиометрии подобно «мягкой» моде, зависящей от температуры. Двухфононные спектры поглощения в этих кристаллах имеют более размытую структуру по сравнению с кристаллами моноклинной модификации.

Кристаллы, полученные при дальнейшем увеличении содержания фосфора (тип III), в области однофононного резонанса сохраняют все полосы отражения (см. рисунок, в). Параметры моды 2 не рассчитывались в силу ее малой интенсивности. В кристаллах этого типа наблюдается значительное увеличение затухания и уменьшение частот фононных колебаний, кроме 4, 6 и 9 мод (см. таблицу). В двухфононной области наблюдается слабо выраженное в обеих поляризациях поглощение.

На рисунке, г представлены спектры отражения ZnP₂ типа IV, полученного при значительном увеличении содержания фосфора. В этих кристаллах полностью исчезают моды 1—3, 5, 7, 9, 10, а частоты фононов 8, 11 и 12 уменьшаются в большей степени, чем в кристаллах типа III, и их затухание возрастает (см. таблицу). В двухфононной области спектр поглощения практически бесструктурный.

Результаты исследования спектров одно- и двухфононного поглощения в ZnP₂ свидетельствуют о том, что внедрение избыточного относительно стехиометрии состава фосфора, по-видимому, приводит к протеканию в кристаллах двух процессов. 1) К нарушению связей Р в фосфорных цепочках, что обусловливает исчезновение полос 1 и 7 и оставляет практически неподвижными остальные полосы. В кристаллах ZnP₂ (Д₄⁸) показано, что высокочастотные полосы обусловлены давыдовскими квартетами (неэквивалентным расположением атомов Р в слоях элементарной ячейки). 2) Сильное отклонение от стехиометрии приводит к дефектообразованию, нарушению совершенства кристаллической решетки, что обусловливает размытие всех колебательных полос.

Таким образом, проведенные исследования показывают, что отклонение от стехиометрии оказывает влияние на динамику кристаллической решетки в кристаллах ZnP₂: избирательно ослабляет некоторые моды, изменяет силу осцилляторов, увеличивает затухание и незначительно уменьшает частоты ИК-активных фононов, уменьшает ε_∞ и ε_s, ослабляет двухфононное поглощение. Одновременно с этим происходит уменьшение зонных параметров ZnP₂ и изменение параметров экситонов. Нарушение стехиометрии приводит также к ослаблению (исчезновению) линий ОВС.

Список литературы

- [1] Певцов А. Б., Пермогоров С. А., Селькин А. В., Сырбу Н. Н., Уманец А. Г. // ФТП. 1982. Т. 16. № 8. С. 1399—1405.
- [2] Сырбу Н. Н., Мамаев В. М. // ФТП. 1983. Т. 17. № 4. С. 694—698.
- [3] Селькин А. В., Стамов И. Г., Сырбу Н. Н., Уманец А. Г. // Письма в ЖЭТФ. 1982. Т. 35. № 2. С. 51—53.
- [4] Лазарев В. Б., Шевченко В. Я., Маренкин С. Ф. // Изв. АН СССР, неорг. матер. 1979. Т. 15. № 10. С. 1701—1712.
- [5] Hegyi I. J., Loebner E. E., Poor E. W., White J. G. // Phys. Chem. Sol. 1963. V. 23. N 2. P. 333—337.
- [6] Sobotka H., Neuman H., Syrbu N. N., Riede N. // Phys. St. Sol. (b). 1983. V. 112. N 2. P. K555—K558.
- [7] Сырбу Н. Н., Хачатурова С. Б. // ФТТ. 1985. Т. 27. № 9. С. 2687—2690.
- [8] Горбань И. С., Горыня В. А., Луговой В. И., Маковецкая А. П. // ФТТ. 1975. Т. 17. № 6. С. 1638—1641.

Кишиневский политехнический институт
им. С. Лазо
Кишинев

Поступило в Редакцию
23 мая 1989 г.
В окончательной редакции
25 октября 1989 г.

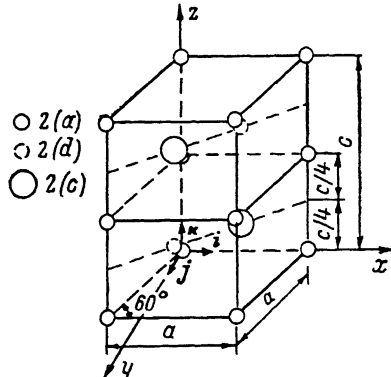
УДК 539.143.43

© Физика твердого тела, том 32, № 4, 1990
Solid State Physics, vol. 32, N 4, 1990

РАСЧЕТ ДИПОЛЬНЫХ ПОЛЕЙ НА ЯДРАХ ^{55}Mn В MnSb

И. Г. Килиптари, А. М. Ахалкаци

Недавно на основе анализа спектров ЯМР нами была произведена численная оценка вклада различных механизмов в формирование сверхтонкого (СТ) поля на ядрах ^{55}Mn в ферромагнитном интерметаллическом соединении MnSb [^{1, 2}], а также изучены многоквантовые механизмы формирования эха в упомянутой системе [³]. В настоящей публикации приводятся результаты расчета сдвигов СТ полей, связанных с дипольным взаимодействием спинового магнитного момента ядра Mn 2 (*a*) с 3d-моментами окружающих атомов. Соответствующие сдвиги $\Delta H_i^{\text{дип}}$ отличны от нуля только



Элементарная ячейка решетки MnSb.

Узлы 2 (*d*) в стехиометрически чистом MnSb не заняты атомами. Магнитный момент атомов Sb в узлах 2 (*c*) равен нулю [⁴]. Параметры решетки: $a=4.130$, $c=5.780 \text{ \AA}$.

для некубических кристаллов и могут быть представлены в виде [⁴]

$$\Delta H_i^{\text{дип}} = \lambda_i [1 - 3(MR)^2], \quad (1)$$

где $\lambda_i = \mu_{\text{Mn}}/r_i^3$; M — вектор, задающий направление намагниченности в домене; R — единичный вектор в направлении ближайших соседей. $\mu_{\text{Mn}} = -3.55 \mu_B$ — магнитный момент атомов Mn 2 (*a*); r_i — расстояние до *i*-й магнитной координационной сферы. Поскольку дипольное взаимодействие быстро убывает с расстоянием, можно ограничиться рассмотрением вклада магнитных атомов, расположенных внутри сферы радиусом 5—6 Å, т. е. учесть сдвиги СТ полей от атомов 2, 3 и 6 координационных сфер (см. таблицу в [²]).